The Significance of E-cadherin and its Associated Cytoplasmic Protein α N-catenin in Adult Mouse Primary Sensory Neurons Following Peripheral Axotomy

メタデータ	言語: jpn
	出版者:
	公開日: 2017-10-04
	キーワード (Ja):
	キーワード (En):
	作成者:
	メールアドレス:
	所属:
URL	http://hdl.handle.net/2297/9264

マウス末梢軸索損傷後の一次感覚神経における上皮型カドヘリンと カドヘリン関連細胞質因子 aN カテニンの 発現変化とその意義の検討

金沢大学医学部医学科脳神経外科学教室(主任:山下純宏教授) 瀬 戸 陽

上皮型カドヘリン (E-カドヘリン) は、脊髄内では Rexed 第11層に限局して発現し、一部の一次感覚神経中枢枝の選択 的軸索束形成に重要な役割を果たす. 本研究の目的は, 一次感覚神経の末梢側軸索損傷が脊髄内の E-カドヘリンとカドヘリ ン関連細胞質因子 αΝ カテニンの発現に及ぼす影響を検討し、これらの分子の神経構築に果たす役割ならびに発現制御機構 を明らかにすることである。成熟マウス坐骨神経の完全変性群(血管挟子による挫滅)と部分的再生群(10-0 縫合糸による結 紮) において,脊髄,後根,後根神経節,坐骨神経における Eカドヘリンおよび αN カテニンの発現を免疫組織化学的ならび に生化学的手法を用いて観察した、Rexed 第Ⅱ層に局在する Eカドヘリンの発現は、末梢軸索損傷後1週に減少し、損傷後 5週まで回復はみられなかった。損傷後9週において、完全変性群では発現低下のままだったのに対し、部分的再生群では第 Ⅱ層に再発現がみられた.一方, αN カテニンは正常脊髄では灰白質全体にびまん性に発現し,特に中心管と Rexed 第Ⅱ層に 強く発現した.この第Ⅱ層での発現は末梢軸索損傷後1週で第Ⅱ層以外の脊髄灰白質と同じレベルまで低下し,損傷後5週ま で低下したままであった. 損傷後9週において, 完全変性群ではこの第Ⅱ層における発現は低下したままだったのに対し, 部 分的再生群では回復した。神経伝達物質であるサブスタンス P は、正常脊髄の Rexed 第Ⅰ、Ⅱ層に限局して発現し、末梢側 軸索損傷後に発現は低下したが,神経成長因子 (nerve growth factor,NGF) を損傷部に持続的に投与することによりこの変化 は抑制された.一方、Eカドヘリン、 αN カテニンの発現の低下は NGF 投与により抑制されなかった.以上の結果より、第 II層において αNカテニンが E-カドヘリンの細胞内領域に結合してその接着性を制御し、さらに NGF とは異なる末梢からの シグナルが Eカドヘリンと αN カテニンの発現維持に関与していると考えられた. このことは、末梢側軸索損傷後におこる 脊髄第Ⅱ層での知覚神経終末の可塑性の一端を E-カドヘリンー aN カテニン複合体が担っている可能性を示唆するものとおも われた.

Key words αN-catenin, E-cadherin, mouse sensory neuron, nerve growth factor, peripheral nerve injury

痛覚は、侵害受容器によって情報化され、これに分布する一次感覚神経によって脊髄後角に入る。そののち、脊髄視床路を上行し、視床を経て大脳皮質の一次体性感覚野に至るり。侵害受容器に分布する一次感覚神経の末梢側軸索は大部分が無髄あるいは細い有髄線維であり、その細胞体は小型のクラスに属し²⁵³、中枢側の軸索は後根を通って Lissauer の背外側束に入り、大部分が脊髄後角浅層に終止する⁴⁵⁵. Rexed の第 II 層⁶⁷⁷は、脊髄後角浅層内の細胞密度の特に高い水平な領域であり、侵害受容器に分布する一次感覚神経の中枢側の軸索の多くがこの細胞密度の特に高い領域に終止する。ここで樹状突起や軸索に取り囲まれ、脊髄視床路のニューロンの樹状突起や介在ニューロンとシナプスを形成している^{85、10}. 免疫組織化学的観察により、第 II 層には種々の神経伝達物質の存在することが明らかとなっている。すなわち、グルタミン酸¹¹⁷、アスパルギン酸¹¹⁷、エンケファリン¹²¹³¹、サブスタンス P¹⁰¹⁵¹、カルシトニン遺伝子関連

ペプチド (calcitonin gene-related peptide, $CGRP)^{1017}$, ソマトスタチン $^{180\cdot21}$, ガラニン 22020 , γ -アミノブチル酸 $^{1924\cdot27}$, グリシン 20380 , ニューロテンシン 299 , ディノルフィン 309 等がラットの脊髄後角に存在し, これら物質のうちのいくつかは, 第II 層内の興奮性または抑制性の介在ニューロンを介した感覚情報の制御に関与している。たとえば, グルタミン酸, サブスタンス P, CGRP 等は痛覚刺激を増強する作用を持ち, エンケファリン, ソマトスタチン, ディノルフィン等は痛覚刺激を抑制する作用を持つ 10 . 末梢側の軸索の損傷によって, 脊髄後角浅層におけるこれらの神経伝達物質の発現が変化することが知られている。たとえば, ガラニンの発現は増加し 310 , サブスタンス P や CGRP の発現は減少する 32030 . 末梢の標的器官から後根神経節細胞へ輸送される神経成長因子 (nerve growth factor, NGF) 等の神経栄養因子の減少がこれらの反応に関与するのではないかと推測されている 340 . 最近, 切断したラット坐骨神経の中枢端

平成8年11月29日受付,平成9年1月9日受理

Abbreviations: ABC; avidin-biotin-peroxidase complex; CGRP, calcitonin gene-related peptide; DAB, 3, 3-diaminobenzidine; DRG, dorsal root ganglia; NGF, nerve growth factor; TBS, Tris-buffered saline

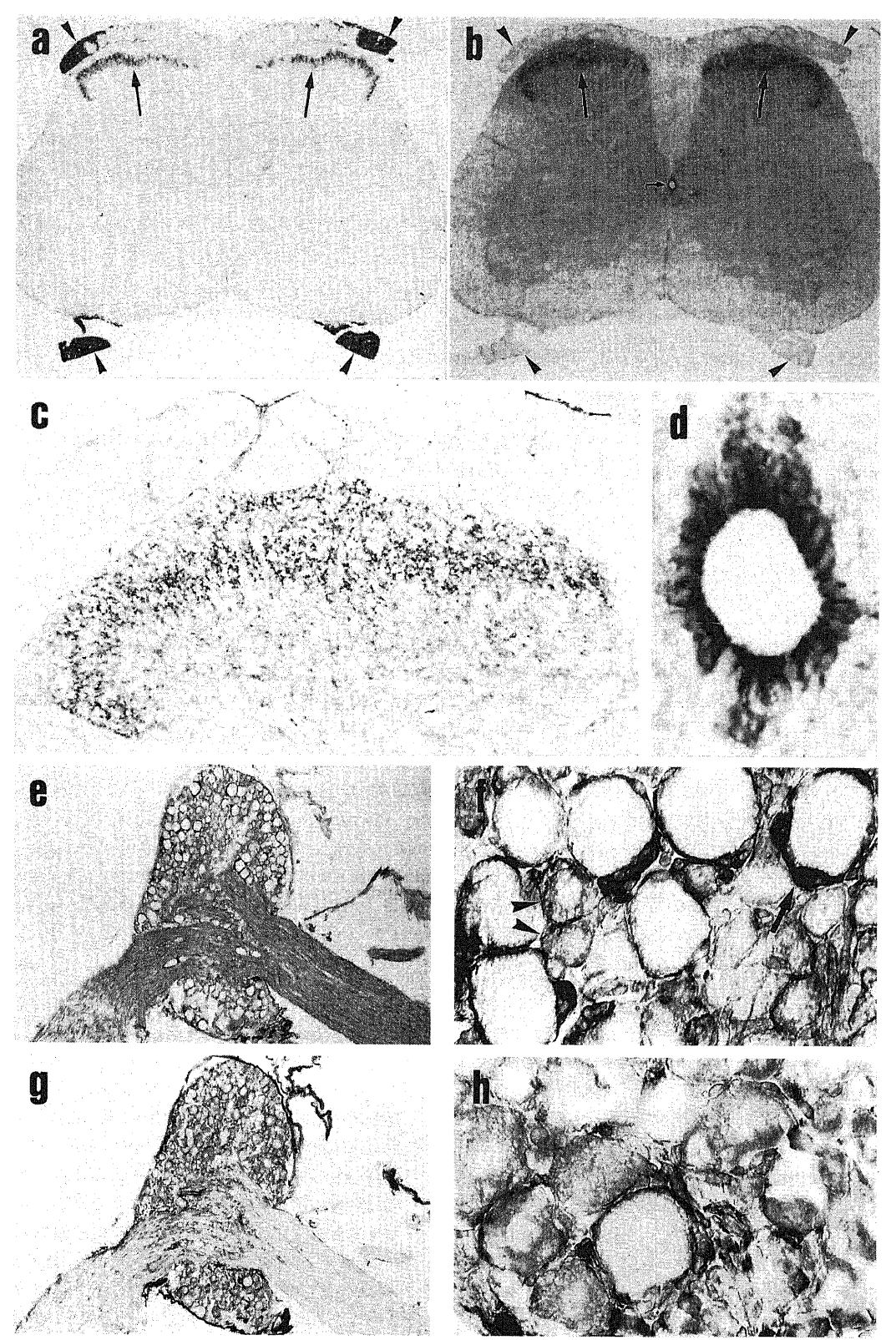


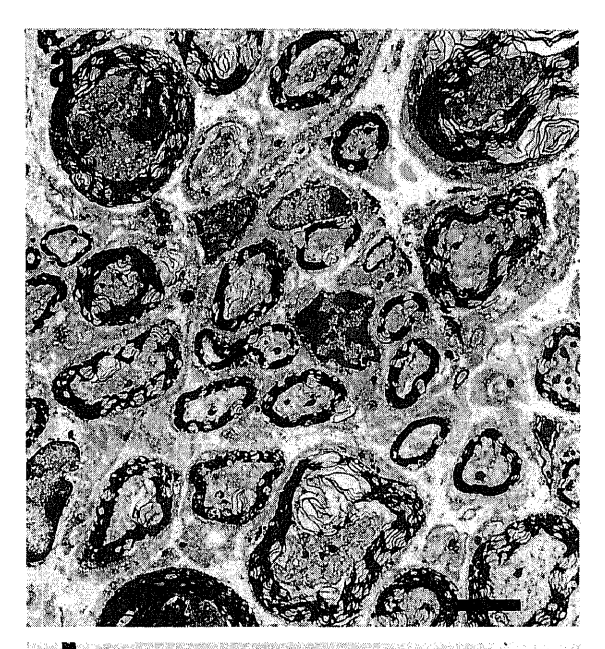
Fig. 1. Immunostaining for E-cadherin (a, e, f) and α N-catenin (b, c, d, g, h) on the adjacent transverse sections of the normal adult mouse lumbar spinal cord (a, b), the spinal cord dorsal horn (c) and the dorsal root ganglia (DRG) (e, f, g, h). (a) E-cadherin was expressed in the dorsal and ventral roots (arrow heads) and the lamina II (arrows). (b) α N-catenin was expressed in the spinal cord gray matter, especially in an area of the lamina II (large arrows), and ependymal cells of the central canal (small arrow). The dorsal and ventral roots did not express α N-catenin (arrowheads). (c) Detail of Fig 1b, showing the reaction product at the dorsal horn. (d) Detail of Fig 1b, showing that ependymal cells of the central canal strongly expressed this molecule at their cell-cell contacts. (e) The DRG stains positively for E-cadherin. (f) A higher magnification of the DRG. The perikarya of small sized neuronal cell bodies (arrowheads), and the surface of the neuronal cell bodies (arrow) show the reaction product. (g) The DRG stains positively for α N-catenin. (h) A higher magnification of the DRG. The perikarya of some of neuronal cell bodies and the surface show the reaction product. a, b, \times 36; c, \times 180; d, \times 720; e, g, \times 93; f, h, \times 930.

に NGF を持続的に投与することによって、軸索損傷後の後角 浅層および後根神経節細胞におけるサブスタンス P の発現の減 少が抑えられることがわかり、この仮説が確かめられた³⁶⁾³⁶⁾. 一方、軸索の成長関連蛋白の一つである成長関連蛋白 43 (growth-associated protein 43, GAP-43) は末梢軸索損傷後に脊 髄後角において発現が増加し、中枢軸索の発芽能力への関与が 示唆されている³⁷.

上皮型カドヘリン (epithelial cadhrin, E-カドヘリン) はカル シウム依存性接着分子であるカドヘリンファミリーに属する. 主として上皮細胞に発現し、細胞間の接着、極性の形成、形態 形成に関与する. また, この分子の発現の減少あるいは機能喪 失によって細胞間の接着能が失われることが癌細胞の浸潤、転 移能に関与するとされる38)、神経系では、後根神経節、三叉神 経節,後根神経節内衛星細胞,シュワン細胞に存在し,脊髄 Rexed 第Ⅱ層にも発現していることが知られている39. 脊髄後 角と後根の詳細な電子顕微鏡的観察によれば、この分子は一部 の無髄線維-無髄線維間に局在し軸索束の形成に関与するが, 神経細胞体 (二次感覚神経細胞) には発現はみられず, シナプ ス形成には関与しない40. 組織内ハイブリッド形成法による観 察でも脊髄内に E-カドヘリンのシグナルはみられない39. すな わち、E-カドヘリンは軸索形成期の脊髄後角内では一次感覚神 経の中枢側軸索に限局して存在し,一次入力線維のサブセット の選択的な軸索束形成に重要な役割を果たすことにより, 感覚 情報の制御あるいは中枢軸索の可塑性に関与していると推測さ

Fig. 2. Immunoblot analysis of the peripheral nerves (lanes 1, 2, 3, 4), the DRGs (lanes 5, 6), and dorsal roots (lanes 7, 8) with anti-E-cadherin monoclonal antibody, ECCD-2. Lane 1, the intact sciatic nerves; lane 2, a portion of the sciatic nerves distal to the ligature; lane 3, a portion of the sciatic nerves between the double ligatures; lane 4, a portion of the sciatic nerves proximal to the ligature; lanes 5 and 7, the lumbar DRGs and the dorsal roots of intact mice; lanes 6 and 8, DRGs and dorsal roots with their sciatic nerves ligated 7 days before harvest. Positions of molecular weight markers for 200, 116, 97, and 66k are shown.

れる. さらに、最近、末梢神経損傷後、損傷部位の中枢側および末梢側において細胞円柱を形成するシュワン細胞ーシュワン細胞間に E-カドヘリンが発現することが明らかとなり、末梢のグリア構築への関与が示唆される 41 . しかし、軸索損傷時の成熟マウス脊髄内の E-カドヘリンの発現変化およびその制御機構は不明のままである。本研究では、免疫組織化学、生化学的手法を用いて、軸索損傷後の脊髄、後根神経節、末梢神経における E-カドヘリンおよびカドヘリン関連細胞内蛋白である α Nカテニンの発現様式を観察することによって、成熟マウス脊髄後角における E-カドヘリンの発現の役割およびその制御機構を検討することを目的とした.



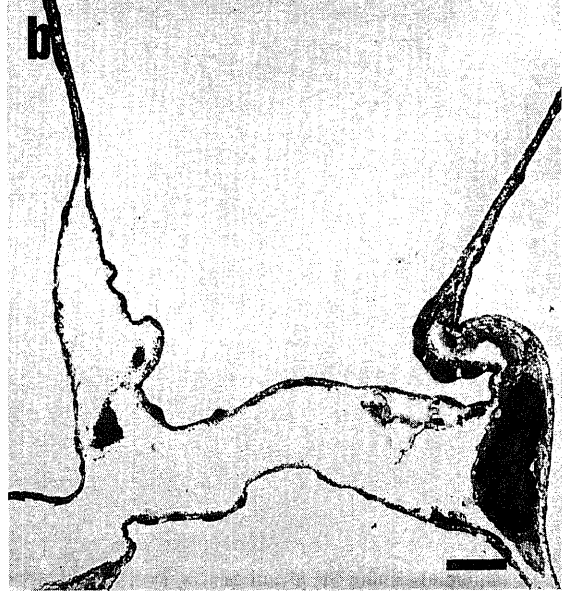


Fig. 3. Electron microscopic view from transverse sections of the sciatic nerves distal to the lesion site 63 days after axotomy. (a) A portion approximately 2 mm distal to the ligature, showing myelinated and unmyelinated fibers. (b) A portion approximately 2 mm distal to the clipping, showing only connective tissue. Bar, 2 μm.

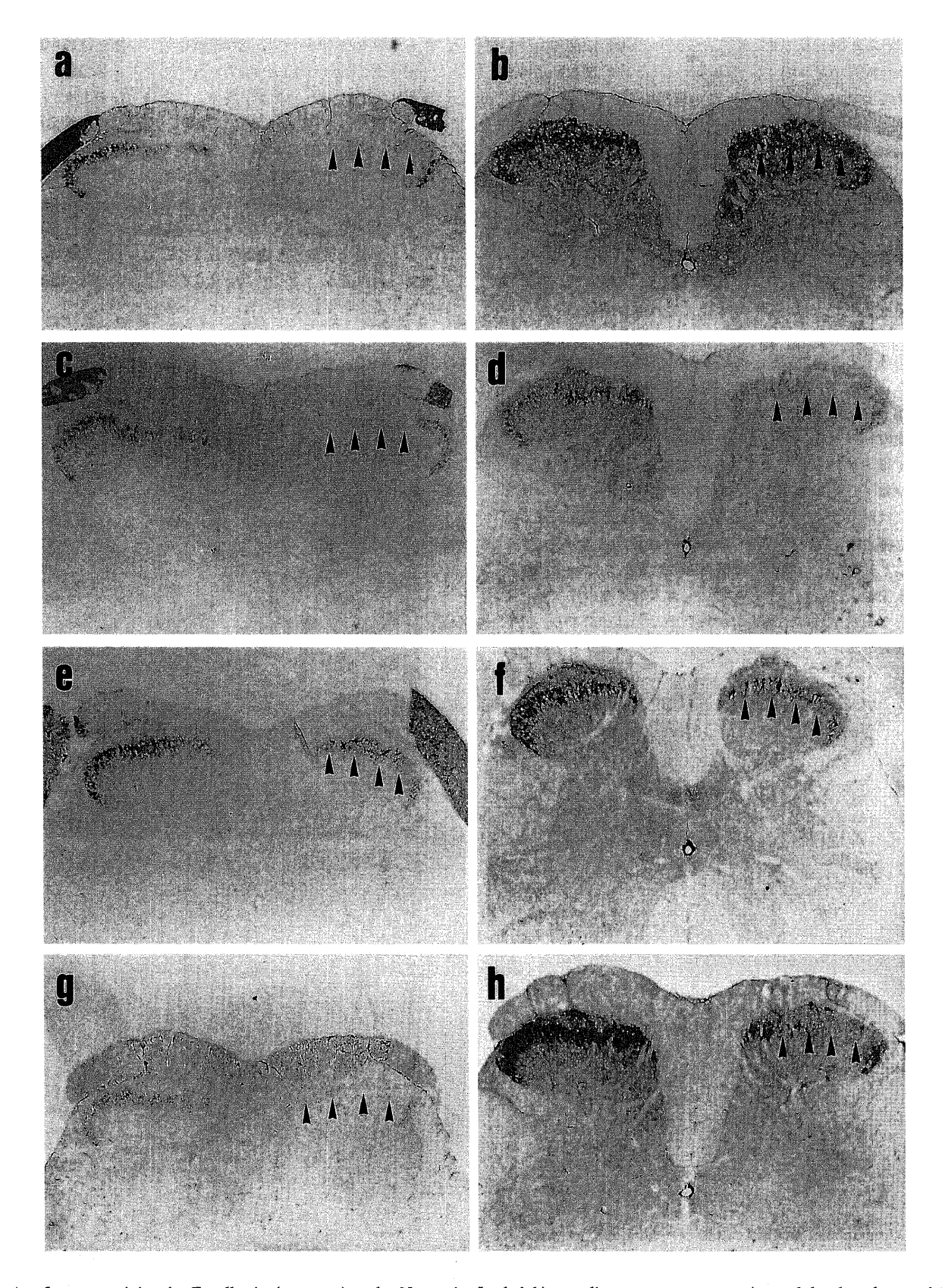


Fig. 4. Immunostaining for E-cadherin (a, c, e, g) and αN-catenin (b, d, f, h) on adjacent transverse sections of the dorsal part of the lumbar spinal cord on Day 7(a, b), Day 35 (c, d), Day 63 (e, f) after ligature of the sciatic nerve, and Day 63 (g, h) after clipping of the sciatic nerve. (a) and (c); E-cadherin immunoreactivity in a medial part of the lamina II on operated side disappeared by Day 7 (a, arrowheads), and did not recover over the following 28 days (c, arrowheads). (b) and (d); αN-catenin immunoreactivity was diminished in a medial part of the lamina II on operated side by Day 7 after nerve ligature (b, arrowheads), and this downregulation was maintained for at least 28 days (d, arrowheads). (e) and (f); At Day 63, E-cadherin (e) and αN-catenin (f) in the lamina II almost completely recovered following sciatic nerve ligature (arrowheads). (g) and (h); It remained decreased (arrowheads) following sciatic nerve clipping (g, E-cadherin; h, αN-catenin). ×50.

材料および方法

I. 動物および手術手技,標本の作製

3から6週齢の雌の BALB/c マウス (日本 SLC, 静岡) 合計52匹を用いた. 手術および標本摘出はすべて5%抱水クロラール (0.01ml/g 体重) の腹腔内投与による麻酔下に行った.

1. 坐骨神経損傷の作製

一側の大腿部で坐骨神経を露出し、約 3mm の間隔をおいて 2 箇所を 10-0 ナイロン糸で結紮、あるいは皮下に留置した血管挟子 (閉鎖力 30-40g、Aesculap、Tuttlingen、ドイツ) で持続 的に挟むことによって末梢神経損傷を作った。反対側の坐骨神経はそのままにしておき対照とした。手術後 2 、3 、7 、14、21、35、63、70、77日に、1mM の塩化カルシウムを含有した 0.05M、pH7.4 の Tris 塩酸緩衝液 (Tris-buffered saline supplemented with 1 mM CaCl₂、TBS-Ca)に 4 %パラフォルムアルデヒド (免疫組織化学用) または2.5%グルタールアルデヒド (電子顕微鏡的観察用) を溶解した固定液を左心室より 40ml 注入し、灌流固定を行った。直ちに手術顕微鏡下に胸椎から仙椎までの椎弓を切除し、腰仙髄、後根、後根神経節、末梢神経を一塊として摘出した.

イムノブロット解析用として,上記と同様の一側坐骨神経結 紮損傷後7日に腰仙髄,後根,後根神経節,末梢神経を一塊と して摘出した(合計8匹).

2. 坐骨神経切断端への NGF 持続投与

一側の大腿部で坐骨神経を露出し切断した後に、あらかじめ NGF (7.0 S, 0.5mg/ml, Chemicon International, Temecula, USA) を満たした浸透圧ポンプ (Alza Corporation, Palo Alto, USA) に接続したポリエチレンチューブ内に近位端を挿入した.このポンプは皮下に埋め込んだ.この条件下でポンプは, 0.5ml/時の速度で14日間ポンプ内の薬液を近位切断端に送るように設計されていた.坐骨神経切断後12日目に、上述と同様の方法で灌流固定を行った.坐骨神経切断後同様の方法で生理食塩水を投与したものを対照とした.

Ⅱ. 免疫組織化学

1. 光学顕微鏡的観察

摘出した標本を Tissue-Tek O.C.T. コンパウンド (Miles, Elkhart, USA)に包埋し液体窒素で凍結した後, Cryostat (Miles) にて 6μ mの 厚さの切片を作製し、ポリーLーリジンを 塗ったスライドガラスにのせた. 内因性ペルオキシダーゼ活性 を阻止するために、切片を-20℃で20分間3%過酸化水素水を 含有したメタノールに浸けた. 非特異的抗体を阻止するために 0.1%正常兎血清を含む TBS-Ca と20分間室温で反応させた. -次抗体として抗 E-カドヘリンラットモノクローナル抗体 ECCD-2⁴²⁾, 抗 α N カテニンラットモノクローナル抗体 NCAT-2⁽³⁾, 抗サブスタンス P ラットモノクローナル抗体 MAB 356 (Chemicon International) を用いた. 一次抗体と室温で1時間反 応させ洗浄した後に、二次抗体として兎ビオチン化抗ラット抗 体 (Vector, Burlingame, USA) と室温で1時間反応させた. ア ビジンービオチンーペルオキシダーゼ複合体 (avidin-biotinperoxidase complex, ABC) 法とヂアミノベンヂジン (3, 3diaminobenzidine, DAB) 処理により免疫反応の可視化をおこな った

2. 免疫電子顕微鏡的観察

D.S.Kマイクロスライサー (堂阪イーエム, 大阪) を用いて,

摘出標本より厚さ $100\,\mu m$ の切片を作製した。20%ショ糖を含有した TBS-Ca 内に $4\,\%$ で1時間静置した後,0.1%正常兎血清を含む TBS-Ca と $4\,\%$ で3時間反応させた.一次抗体として ECCD-2 と $4\,\%$ で一晩反応させ,洗浄後二次抗体である鬼ピオチン化抗ラット抗体と $4\,\%$ で一晩反応させ,さらに ABC と $4\,\%$ で6時間反応させた。0.1%グルタールアルデヒドで再固定をした後,0.02% DAB を含む 0.05M の Tris 塩酸緩衝液 (pH7.6) に30分間,さらに0.005%過酸化水素を加えた反応液に 15分間静置した。 $2\,\%$ 四酸化オスミウムで後固定を行った後,エタノールで脱水し,エボンに包埋した.LKB-2188型ウルトラトーム(LKB-Produkter,Bromma,Sweden)にて超薄切片を作製し,電子染色を行わずに H-600 型電子顕微鏡 (日立,東京) にて観察した.

Ⅲ. イムノブロット解析

2から4匹の動物より採取した組織を機械的に分散させ、SDS 緩衝液に溶解した後に、音波処理し、5%の2メルカプトエタノールを含む SDS 緩衝液内で95℃で3分間温浴させた。これらの試料を SDS-PAGE で分離し、ニトロセルロース膜に 転写した。この膜を5%スキムミルクを含む TBS-Ca に15分間 浸透させた後、ECCD-2 と1時間反応させた。アルカリホスファターゼ結合山羊抗ラット IgG 抗体 (Zymed, California, USA) とアルカリホスファターゼ基質キット (Vector) によって 免疫反応の可視化をおこなった。

成 績

I. 正常脊髄、後根、後根神経節、末梢神経における E-カ ドヘリン、 αN カテニンの局在

脊髄内で E-カドヘリンは Rexed の第Ⅱ層に限局して存在し

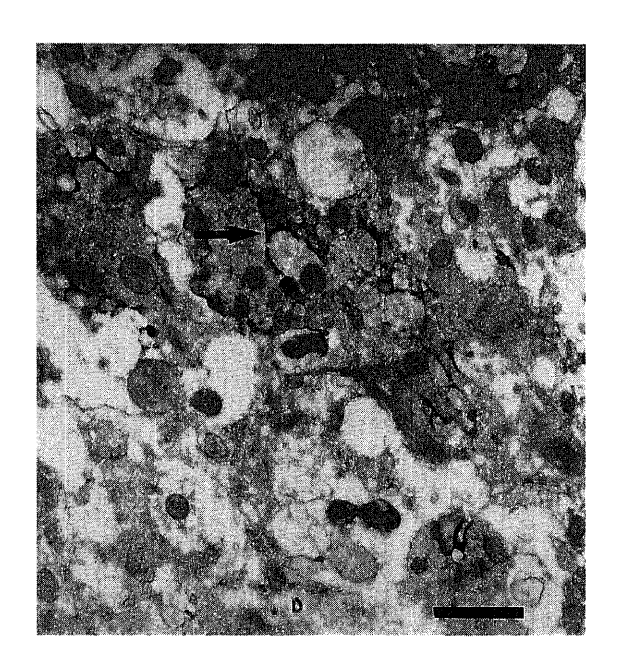


Fig. 5. Immunoelectron microscopic localization of E-cadherin in the lamina II of the lumbar spinal cord 2 days after ligature of the sciatic nerve. Only a subpopulation of unmyelinated axons expressed E-cadherin at their axon-axon contacts (arrow), and these E-cadherin-positive axons were clustered together and segregated from E-cadherin-negative ones. Bar, 1 μ m.

た. これは, 以前の報告39と同様であった (図 1a). 前根, 後根, 後根神経節,末梢神経においても光学顕微鏡による観察で E-カ ドヘリンの発現がみられた (図 1a, e, f). 後根神経節内で, E-カドヘリン陽性の領域は、神経細胞体の周辺部の衛星細胞に相 当する部位と径 10mm 前後のサイズの小さい細胞体の細胞質 に限られた (図 1e, f).

αN カテニンは脊髄灰白質全体に発現し、Rexed 第Ⅱ層およ び中心管の上衣細胞に強陽性であった (図 1b). 第Ⅱ層におい て、αN カテニン陽性の領域は Eカドヘリンと同様の点状の層 配列を示した (図 1c). 中心管において、 αN カテニンは隣接す る上衣細胞間に強く発現し、基底面での発現は弱かった (図 1d). 前根, 後根には発現はみられなかった (図 1b). 後根神経 節において、神経細胞体の周辺部および細胞質に陽性であった (図 1g, h).

Ⅱ. 正常状態および末梢側軸索損傷後の後根、後根神経節、 末梢神経におけるイムノブロット解析

末梢側軸索損傷が,後根,後根神経節,末梢神経における E-カドヘリンの発現に影響を与えるかどうかを調べるために、イ ムノブロット解析を行った. 損傷後7日では. 損傷部より遠位 の末梢神経において正常神経に比し E-カドヘリンの発現の減少 がみられたが、後根、後根神経節では損傷側非損傷側間で発現 量の差はみられなかった (図2).

Ⅲ. 神経損傷部の観察

結紮およびクリップによる神経の損傷と回復の程度を調べる ために、坐骨神経損傷部末梢の電子顕微鏡的観察を行った、損 傷後9週において、結紮による損傷では有髄および無髄線維が みられた (図 3a). この損傷を与えた動物を部分的再生群とし た. クリップによる損傷では神経周膜のみが残存しその中には 再生線維は全くみられなかった (図 3b). この損傷を与えた動 物を完全変性群とした.

Ⅳ. 末梢側軸索損傷後の脊髄内における E-カドヘリンの発 現の変化

第Ⅱ層における Eカドヘリンの発現は、坐骨神経の結紮後1 週で減少し (図 4a), 末梢側軸索損傷後5週で減少したままで あった (図 4c). この変化は、坐骨神経からの中枢枝が終止す る第Ⅱ層内側部40で最もあきらかであった. 損傷後9週におい て、部分的再生群では第Ⅱ層内側部に E-カドヘリンが再出現し た (図 4e) のに対し、完全変性群では E-カドヘリンの再発現は みられなかった (図 4g). 損傷後2日の光学顕微鏡による観察 上まだEカドヘリンの減少がみられない時期の、電子顕微鏡に よる観察では、この分子は後角内の一部の無髄神経線維の軸索 膜間に局在して発現していた (図5).

V. 末梢側軸索損傷後の脊髄内における αN カテニンの発 現の変化

第Ⅱ層における αN カテニンの発現は、結紮による坐骨神経 の損傷後1週から (図 4b) 5週まで (図 4d) 減少したままであ った. この変化は、坐骨神経からの中枢枝が終止する第Ⅱ層内 側部⇔で最もあきらかであった.損傷後9週において,部分的 再生群では第Ⅱ層内側部に αN カテニンが再出現した (図 4f) のに対し、完全変性群では αN カテニンが減少したままであっ

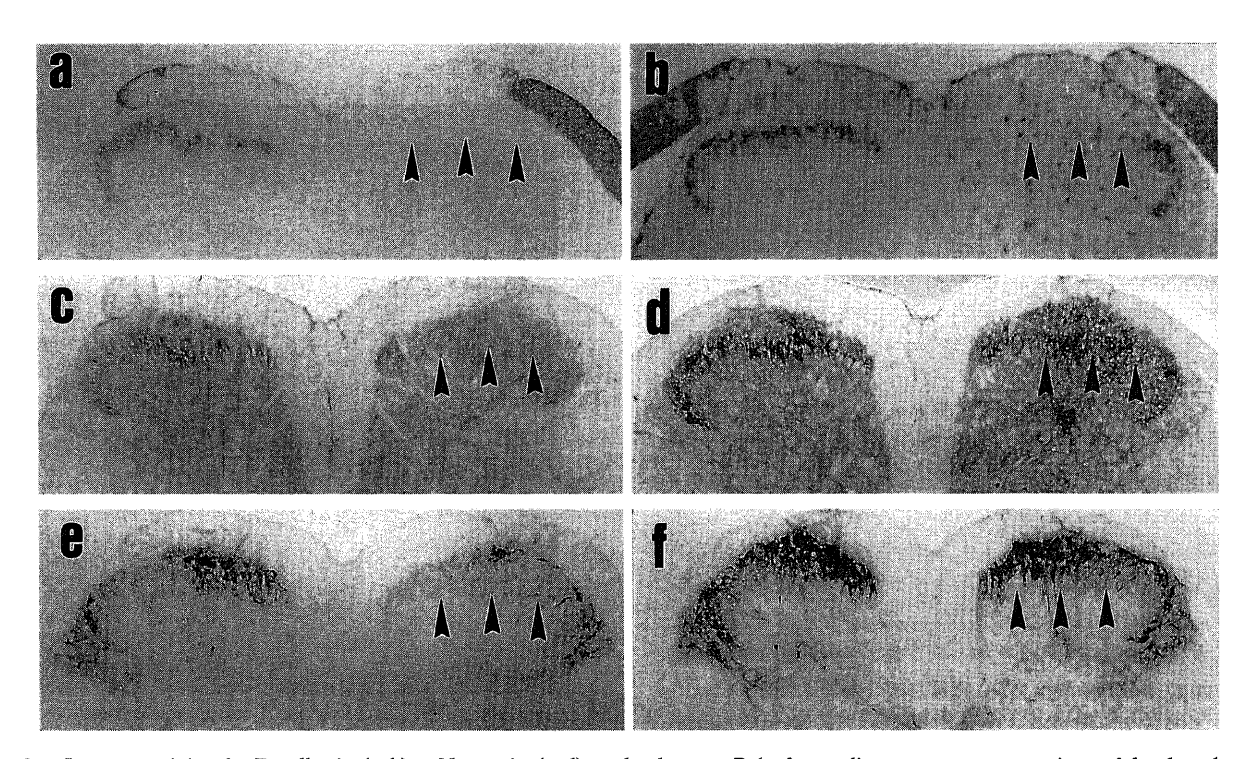


Fig. 6. Immunostaining for E-cadherin (a, b), αN-catenin (c, d), and substancs P (e, f) on adjacent transverse sections of the dorsal parts of the lumbar spinal cords from saline-treated (a, c, e), and NGF-treated (b, d, f) animals for 12 days after axotomy. In saline-treated preparations, the immunoreactivity of all of these substances was diminished in the medial part of the lamina II on the treated side as compared with those on the untreated control side (a, c, and e, arrowheads). In contrast, both E-cadherin and a N-catenin decreased in the lamina II on the treated side (b and d, arrowheads), whereas substance P did not decrease in the superficial dorsal horn on the treated side in NGF-treated preparations (f, arrowheads). ×50.

た (図 4h).

Ⅵ. NGF 投与

生理食塩水を投与したコントロール群では、神経切断後12日において脊髄後角浅層内の Eカドヘリン、 αN カテニン、サブスタンス P の発現は減少した (図 6a, c, e). NGF を投与した群では、神経切断後12日において脊髄後角浅層内のサブスタンス P の減少は抑えられたが (図 6f), Eカドヘリン、 αN カテニンの発現は減少したままであった (図 6b, d).

考 第

本研究において、脊髄神経節細胞の末梢枝の集合である坐骨 神経に損傷を与えると中枢枝の終わる脊髄後角表層でカルシウ ム依存性接着分子 Eカドヘリンの発現が変化することを初めて 報告した. Shimamura ら39は、腰仙髄の後根を切断し、その14 日後に Rexed 第Ⅱ層における E-カドヘリンの発現が著明に減 少することより、後角内の E-カドヘリン陽性神経線維が一次感 覚線維由来であるとした. この現象は、E-カドヘリンを発現す る損傷部以降の中枢枝がワーラー変性により消失した結果と推 測される. 一方, 末梢側軸索の損傷もまた第Ⅱ層におけるこの 分子の減少を誘導することは、まったく異なった現象である. これまでにも一次感覚神経の末梢側軸索の損傷の後に脊髄後角 の種々の神経伝達物質および神経伝達物質受容体の発現が変化 することが報告されている. たとえば、ラット腰髄後角のサブ スタンス P の発現は、坐骨神経を損傷すると1 週後までに減少 し、この蛋白の減少は2か月持続する32、また、サブスタンス P 受容体は坐骨神経損傷あるいは坐骨神経の分布領域である後 肢に慢性炎症の負荷をかけると発現が増加し、この現象は持続 的疼痛下での中枢性の痛覚刺激の増強効果に関与すると推測さ れている45. 最近になって脊髄後角内のニューロンにおいて, 前初期遺伝子 (immediate-early gene) の一つである c-fos が標的 器官の炎症, 痛覚刺激, 侵害一次入力線維の電気的あるいは化 学的刺激の後に増加することが明らかとなり、この現象が、脊 髄後角における痛覚刺激増強の細胞内機構に関与する可能性が 示唆されている40. 本研究の結果は、上記物質のみならず接着 分子 E-カドヘリンもまた末梢神経損傷後の痛覚の変調に関与す ることを示唆する.

E-カドヘリンの発現変化にまったく同調して αN カテニンが 低下・再出現した. カドヘリンの接着機能の維持にはカドヘリ ンの細胞内領域と細胞骨格およびアクチンフィラメントとの結 合が必要で³⁸⁾、α、β、γの3種類のカテニンがカドヘリンと 細胞骨格とを繋ぐ役割を担っていることが最近の治験で明らか となっている40~49.カドヘリン関連細胞内蛋白のひとつである αカテニンは、カドヘリンの細胞内領域と細胞骨格蛋白の結合 に介在してカドへリンの機能を制御し47-49, αE カテニン5051)と αN カテニン43の2つのサブタイプが同定されている. 試験管 内の観察によれば、各々のサブタイプは E-カドヘリンと神経型 カドヘリン (neural cadherin, N-カドヘリン) の両者の細胞内領 域との結合が可能である40. 本研究において, 脊髄第Ⅱ層にお ける E-カドヘリンと αN カテニンの正常組織における局在お よび末梢軸索損傷後の発現の変化は一致していた. 一方, 前根, 後根では Eカドヘリンの発現がみられたが, αN カテニンの発 現はまったくみられなかった。すなわち、生体内では第Ⅱ層内 の E-カドヘリン陽性中枢枝は E-カドヘリンー αN カテニン複合 体を形成し、神経根内では Eカドヘリン $-\alpha E$ カテニン複合体 を形成すると想像される.

神経が損傷・切断されたという情報は少なくとも以下の3要 素の内のいずれかあるいは複数の機構により神経細胞体まで伝 わるとされる. すなわち、1)末梢側の終末から逆行性軸索輸 送により運ばれるある種の分子の途絶、2)正常状態であれば 終末まで運ばれるはずのある種の物質あるいはこの二次産物が 中途の損傷部位で逆行して後根神経節に戻る、3)損傷部位の 細胞外腔からある種の物質が軸索へ流入し神経細胞へ逆行す る. 神経細胞はこれらの情報に反応し、種々の物質の産生低下 あるいは亢進が誘導されると想像されるが、上記3要素の中で 逆行性軸索輸送により運ばれる物質の代表として NGF があげ られる. 実際, 坐骨神経切断後, 中枢側切断端に NGF を持続 的に投与することにより脊髄後角におけるサブスタンスPの発 現の減少が阻止されること35, ビンブラスチン等の軸索輸送阻 害物質を坐骨神経に局所投与することにより神経損傷後と同様 に後角内サブスタンス P の発現が減少すること⁵⁰などから、末 梢の標的器官から細胞体へ逆行輸送される NGF 等の神経栄養 因子が後角内での神経伝達物質の発現の維持に関与すると推測 される. しかしながら本実験で、NGF の投与により脊髄後角 におけるサブスタンス P の発現低下は阻止されたが、Eカドへ リンと αN カテニンの発現消失を阻止できなかった。すなわち、 NGF 投与が脊髄後角ならびに後根神経節内のサブスタンス P の発現低下を阻止できる一方で、細胞骨格蛋白チュブリンの発 現変化は阻止できない事実物は、NGFはサブスタンスPなどの 神経伝達物質の発現の制御には関与するが、チュブリン、アク チン等の細胞の成長・骨格には関与が少ないことを示唆するも のと思われる.

第Ⅱ層における E-カドヘリンと αN カテニンの発現は、部 分的な軸索の再生がみられた群ではほぼ回復したのに対し,末 梢軸索が変性した群では消失したままであった. この結果から, 第Ⅱ層におけるこの分子の発現と末梢側の軸索の再生とが強く 関連することは明らかである. ラット坐骨神経を切断すると, 腰仙髄第Ⅱ層において、損傷後3日よりシナプス小胞、シナプ ス接触の減少, グリア要素の増加, 続いて一次入力線維由来の 終末の完全消失がおこり、この変化は少なくとも60日間持続す ることが知られている53)54). 形態上の変化, 時間経過ともにワ ーラー変性とは異なることから, 経神経節変性性萎縮 (transganglionic degenerative atrophy) と呼ばれている50. 現時 点では、この環境下で中枢側軸索の再生が起こるのかどうかは 結論が出ていないが、末梢神経をある長さにわたり切除し再生 が起こらないようにした系では、脊髄後角内の、一次入力線維 終末が変性に陥った領域への近接領域からの神経線維の側枝発 芽は全く見られないのに対し50-50,末梢神経を切断または糸で 結紮することにより損傷し、損傷後末梢側軸索が再生する系で は, 脊髄後角内の, 一次入力線維終末が変性に陥った領域への 近接領域からの神経線維の側枝発芽が見られる575%. すなわち, 本研究における E-カドヘリンの再発現は、E-カドヘリンを発現 する中枢側軸索の側枝発芽の結果として起こっている可能性が ある.

Shimamura らによると、培養後根神経節細胞のうち小型細胞のみが E-カドヘリン陽性であった³⁰⁾. 本研究における生体内の観察でも、後根神経節の中で、小型の神経細胞体が Eカドヘリン陽性であり、培養系での観察結果に一致した。 痛覚情報を伝達する一次感覚神経の細胞体は小型のクラスに属することが

知られており²³³、本研究の結果は E-カドヘリンが痛覚情報を伝 達する一次感覚神経の細胞体に局在しているとする可能性をさ らに指示するものである.

イムノブロット解析による観察では、後根および後根神経節 における E-カドヘリンの発現量への末梢軸索損傷の与える影響 を検出できなかった. これは、後根神経節および後根に E-カド ヘリン陽性の衛星細胞およびシュワン細胞が混在する400ため、 蛋白量の変化がわずかであるためだと思われる.しかしながら、 末梢側軸索損傷が後根神経節における E-カドヘリンの産生を抑 制する, あるいは後根内での軸索輸送を遅延させている可能性 は否定できず、組織内ハイブリッド形成法あるいは逆転写ポリ メラーゼ連鎖反応 (reverse transcription polymerase chain reaction, RT-PCR) 法による検索が必要と思われる.

中心管の上衣細胞,脊髄灰白質,前角内の細胞体で αΝ カテ ニンの発現がみられた. 中心管においては、 αΝ カテニンは隣 接する上衣細胞間に強く発現したが、Eカドヘリンの発現はま ったくみられなかった. すなわち, 第II層において αN カテニ ンは E-カドヘリンの細胞内領域に結合しており、中心管の上衣 細胞および第Ⅱ層を除く脊髄灰白質, 前角内の細胞体において αN カテニンは E-カドヘリン以外のカドヘリンの細胞内領域に 結合している可能性を示唆する. 成熟ラットおよびマウスにお いて、中心管に発現する接着分子としてポリシアル酸結合神経 細胞接着分子が知られている59~61)が、本結果より、マウスの中 心管には神経細胞接着分子だけでなくカルシウム依存性接着分 子カドヘリンが存在し、上衣細胞間の接着に関与していると思 われる. 実際, 鶏胎仔の神経管形成期に, 神経管の管腔に面す る神経上皮層に N-カドヘリンが強く発現しており⁶², 成熟動物 においても、中心管の上衣細胞間に N-カドヘリンが存在し αN カテニンと複合体を形成し、上衣細胞間の接着に関与している 可能性が示唆される.

末梢側軸索損傷後におこる脊髄内および一次感覚神経におけ るカルシルム依存性細胞接着分子 E-カドヘリンとカドヘリン関 連細胞内蛋白 αN カテニンの発現変化を免疫組織化学および生 化学的に検討し, これらの分子の発現制御機構ならびに成熟マ ウス神経構築に果たす役割を検討した.

- 1. 脊髄 Rexed 第Ⅱ層に局在する E-カドヘリンの発現は, 末梢軸索損傷後1週に消失し、損傷後5週まで回復はみられな
- 2. 損傷後9週において、末梢枝の変性群ではE-カドヘリン の発現が消失したままだったのに対し、再生群ではE-カドヘリ ンの発現は回復した.
- 3. αN カテニンは脊髄灰白質にびまん性に発現し、特に中 心管と脊髄後角浅層に強く発現した.
- 4. 脊髄第Ⅱ層での αN カテニンの発現は末梢軸索損傷後1 週に他の脊髄灰白質と同じレベルまで低下した. 損傷後5週ま でこの発現低下は続き、損傷後9週において、完全変性群では αN カテニンの発現が減少したままだったのに対し、部分的再 生群では発現が回復した. すなわち, 第Ⅱ層での αN カテニン の経時的変化は E-カドヘリンに全く同調していた.
- 5. 第Ⅱ層を含む後角浅層の神経伝達物質サブスタンス Pは, 末梢枝損傷により発現が低下したが、NGF 投与によりこの発 現低下を阻止できた. しかしながら, Εカドヘリン, αΝ カテ

ニンの発現低下は阻止できなかった.

以上の結果より、E-カドヘリンと αN カテニンの発現が同調 して変化することから、第Ⅱ層において αN カテニンが E-カ ドヘリンの細胞内領域に結合してその接着性を制御しており, さらに末梢からの NGF 以外のシグナルが E-カドヘリンと αN カテニンの発現を維持していると考えられた. このことは、末 梢側軸索損傷後におこる脊髄第Ⅱ層での知覚神経終末の可塑性 の一端を Eカドへリンー αN カテニン複合体が担っている可能 性を示唆するものである.

稿を終えるに臨み,御指導,後校閲を賜わった恩師金沢大学医学部脳 神経外科学教室山下純宏教授に深甚の謝意を表します。また、直接御指 導いただいた同教室長谷川光広講師に深謝いたします。更に、抗体を提 供して下さるとともに、貴重な後助言を頂きました京都大学理学部生物 物理学教室竹市雅俊教授に厚く御礼申し上げます.本研究に御協力頂い た脳神経外科学教室の諸先生、電子顕微鏡技術員横田輝一氏ならびに今 村明子技官に感謝の意を表します. なお本論文の要旨は, 神経組織の成 長再生移植研究会第10回学術集会 (1995, 東京), 第6回神経損傷の基礎 シンポジウム (1995, 東京), 第55回日本脳神経外科学会総会 (1996, 富 山) において発表した.

文 献

- 1) Willis WD, Westlund KN, Carlton SM. Pain. In Paxinos G (ed), The Rat Nervous System, 2nd ed, p725-750, Academic Press, San Diego, 1995
- 2) Lawson SN, Waddell PJ. Soma neurofilament immunoreactivity is related to cell size and fibre conduction velocity in rat primary sensory neurons. J Physiol Lond 435: 41-63, 1991
- 3) Pearl ER. Function of dorsal root ganglion neurons: an overview. In Scott SA (ed), Sensory Neurons, 1 st ed, p3-23, Oxford University Press, New York, 1992
- 4) Light AR, Perl ER. Reexamination of the dorsal root projection to the spinal dorsal horn including observations on the differential termination of course and fine fibers. J Comp Neurol 186: 117-132, 1979
- 5) Light AR, Perl ER. Spinal terminations of functionally identified primary afferent neurons with slowly conducting myelinated fibers. J Comp Neurol 186: 151-172, 1979
- 6) Rexed B. The cytoarchitectonic organization of the spinal cord in the cat. J Comp Neurol 96: 415-495, 1952
- 7) Rexed B. A cytoarchitectonic atlas of the spinal cord in the cat. J Comp Neurol 100: 297-379, 1954
- 8) Coimbra A, Sodre-Borges BP, Magalhas MM. Fine structure, cytochemistry (acid phosphatase) and changes after dorsal root section. J Neurocytol 3: 199-217, 1974
- 9) Ribeiro-da-Silva A, Coimbra A. Two types of synaptic gromeruli and their distribution in lamina I-III of the rat spinal cord. J Comp Neurol 209: 176-186, 1982
- 10) Ribeiro-da-Silva A, Pignatelli D, Coimbra A. Synaptic architecture of glomeruli in superficial dorsal horn of rat spinal cord, as shown in serial reconstructions. J Neurocytol 14: 203-220, 1985
- 11) De Biasi S, Rustioni A. Glutamate and substance P coexist

- in primary afferent terminals in the superficial laminae of spinal cord. Proc Natl Acad Sci U S A 85: 7820-7824, 1988
- 12) Hokfelt T, Ljungdahl A, Terenius L, Elde R, Nilsson G. Immunohistochemical analysis of peptide pathways possibly related to pain and analgesia: enkephalin and substance P. Proc Natl Acad Sci U S A 74: 3081-3085, 1977
- 13) Hunt SP, Kelly JS, Emson PC, Kimmel JR, Miller RJ, Wu JY. An immunohistochemical study of neuronal populations containing neuropeptides or gamma-aminobutyrate within the superficial layers of the rat dorsal horn. Neuroscience 6: 1883-1898, 1981
- 14) Cuello AC, Kanazawa I. The distribution of substance P immunoreactive fibers in the rat central nervous system. J Comp Neurol 178: 129-156, 1978
- 15) Hokfelt T, Kellerth JO, Nilsson G, Pernow B. Substance P: localization in the central nervous system and in some primary sensory neurons. Science 190: 889-890, 1975
- 16) Wiesenfeld HZ, Hokfelt T, Lundberg JM, Forssmann WG, Reinecke M, Tschopp FA, Fischer JA. Immunoreactive calcitonin gene-related peptide and substance P coexist in sensory neurons to the spinal cord and interact in spinal behavioral responses of the rat. Neurosci Lett 52: 199-204, 1984
- 17) Ju G, Hokfelt T, Brodin E, Fahrenkrug J, Fischer JA, Frey P, Elde RP, Brown JC. Primary sensory neurons of the rat showing calcitonin gene-related peptide immunoreactivity and their relation to substance P-, somatostatin-, galanin-, vasoactive intestinal polypeptide- and cholecystokinin-immunoreactive ganglion cells. Cell Tissue Res 247: 417-431, 1987
- 18) Alvarez FJ, Priestley JV. Ultrastructure of somatostatin-immunoreactive nerve terminals in laminae $\,\mathbb{I}\,$ and $\,\mathbb{I}\,$ of the rat trigeminal subnucleus caudalis. Neuroscience 38: 359-371, 1990
- 19) Alvarez FJ, Priestley JV. Anatomy of somatostatinimmunoreactive fibres and cell bodies in the rat trigeminal subnucleus caudalis. Neuroscience 38: 343-357, 1990
- 20) Ribeiro-da-Silva A, Cuello AC. Ultrastructural evidence for the occurrence of two distinct somatostatin-containing systems in the substantia gelatinosa of rat spinal cord. J Chem Neuroanat 3: 141-153, 1990
- 21) Hokfelt T, Elde R, Johansson O, Luft R, Nilsson G, Arimura A. Immunohistochemical evidence for separate populations of somatostatin-containing and substance P-containing primary afferent neurons in the rat. Neuroscience 1: 131-136, 1976
- 22) Ch'ng JL, Christofides ND, Anand P, Gibson SJ, Allen YS, Su HC, Tatemoto K, Morrison JF, Polak JM, Bloom SR. Distribution of galanin immunoreactivity in the central nervous system and the responses of galanin-containing neuronal pathways to injury. Neuroscience 16: 343-354, 1985
- 23) Lindh B, Lundberg JM, Hokfelt T. NPY-, galanin-, VIP/PHI-, CGRP- and substance P-immunoreactive neuronal subpopulations in cat autonomic and sensory ganglia and their projections. Cell Tissue Res 256: 259-273, 1989
- 24) Todd AJ, McKenzie J. GABA-immunoreactive neurons in the dorsal horn of the rat spinal cord. Neuroscience 31: 799-806, 1989

- 25) Todd AJ, Spike RC, Russell G, Johnston HM. Immunohistochemical evidence that Met-enkephalin and GABA coexist in some neurones in rat dorsal horn. Brain Res 584: 149-56. 1992
- 26) Ribeiro-da-Silva A, Coimbra A. Neuronal uptake of ³H GABA and ³H glycine in laminae I-III (substantia gelatinosa Rolandi) of the rat spinal cord. An autoradiographic study. Brain Res 188: 449-464. 1980
- 27) Barber RP, Vaughn JE, Roberts E. The cytoarchitecture of GABAergic neurons in rat spinal cord. Brain Res 238: 305-328, 1082
- 28) Todd AJ, Sullivan AC. Light microscope study of the coexistence of GABA-like and glycine-like immunoreactivities in the spinal cord of the rat. J Comp Neurol 296: 496-505, 1990
- 29) Seybold VS, Elde RP. Neurotensin immunoreactivity in the superficial laminae of the dorsal horn of the rat: I. Light microscopic studies of cell bodies and proximal dendrites. J Comp Neurol 205: 89-100, 1982
- 30) Miller KE, Seybold VS. Comparison of met-enkephalin-, dynorphin A-, and neurotensin-immunoreactive neurons in the cat and rat spinal cords: I. Lumbar cord. J Comp Neurol 255: 293-304, 1987
- 31) Villar MJ, Cortes R, Theodorsson E, Wiesenfeld HZ, Schalling M, Fahrenkrug J, Emson PC, Hokfelt T. Neuropeptide expression in rat dorsal root ganglion cells and spinal cord after peripheral nerve injury with special reference to galanin. Neuroscience 33: 587-604, 1989
- 32) Jessell T, Tsunoo A, Kanazawa I, Otsuka M. Substance P: depletion in the dorsal horn of rat spinal cord after section of the peripheral processes of primary sensory neurons. Brain Res 168: 247-259, 1979
- 33) Villar MJ, Wiesenfeld HZ, Xu XJ, Theodorsson E, Emson PC, Hokfelt T. Further studies on galanin-, substance P-, and CGRP-like immunoreactivities in primary sensory neurons and spinal cord: effects of dorsal rhizotomies and sciatic nerve lesions. Exp Neurol 112: 29-39, 1991
- 34) Johnson EMJ Rich, K. M., Yip, H. K. The role of NGF in sensory neurons in vivo. Trends Neurosci 9: 33-37, 1986
- 35) Fitzgerald M, Wall PD, Goedert M, Emson PC. Nerve growth factor counteracts the neurophysiological and neurochemical effects of chronic sciatic nerve section. Brain Res 332: 131-141, 1985
- 36) Wong J, Oblinger MM. NGF rescues substance P expression but not neurofilament or tubulin gene expression in axotomized sensory neurons. J Neurosci 11: 543-552, 1991
- 37) Woolf CJ, Reynolds ML, Molander C, O'Brien C, Lindsay RM, Benowitz LI. The growth-associated protein GAP-43 appears in dorsal root ganglion cells and in the dorsal horn of the rat spinal cord following peripheral nerve injury. Neuroscience 34: 465-478. 1990
- 38) Takeichi M. Cadherin cell adhesion receptors as a morphogenetic regulator. Science 251: 1451-1455, 1991
- 39) Shimamura K, Takahashi T, Takeichi M. E-cadherin expression in a particular subset of sensory neurons. Dev Biol

152: 242-254, 1992

- 40) Uchiyama N, Hasegawa M, Yamashima T, Yamashita J, Shimamura K, Takeichi M. Immunoelectron microscopic localization of E-cadherin in dorsal root ganglia, dorsal root and dorsal horn of postnatal mice. J Neurocytol 23: 460-468, 1994
- 41) Hasegawa M, Seto A, Uchiyama N, Kida S, Yamashima T, Yamashita J. Localization of E-cadherin in peripheral glia after nerve injury and repair. J Neuropathol Exp Neurol 55: 424-434, 1996
- 42) Shirayoshi Y, Nose A, Iwasaki K, Takeichi M. N-Linked oligosaccharides are not involved in the function of a cell-cell binding glycoprotein E-cadherin. Cell Struct Funct 11: 245-252, 1986
- 43) Hirano S, Kimoto N, Shimoyama Y, Hirohashi S, Takeichi M. Identification of a neural alpha-catenin as a key regulator of cadherin function and multicellular organization. Cell 70: 293-301, 1992
- 44) Swett JE, Woolf CJ. The somatotopic organization of primary afferent terminals in the superficial laminae of the dorsal horn of the rat spinal cord. J Comp Neurol 231: 66-77, 1985
- 45) Abbadie C, Brown JL, Mantyh PW, Basbaum AI. Spinal cord substance P receptor immunoreactivity increases in both inflammatory and nerve injury models of persistent pain. Neuroscience 70: 201-209, 1996
- 46) Dubner R, Ruba MA. Activity-dependent neuronal plasticity following tissue injury and inflammation. Trend Neurosci 15: 96-103, 1992
- 47) Ozawa M, Ringwald M, Kemler R. Uvomorulin-catenin complex formation is regulated by a specific domain in the cytoplasmic region of the cell adhesion molecule. Proc Natl Acad Sci U S A 87: 4246-4250, 1990
- 48) Knudsen KA, Soler AP, Johnson KR, Wheelock MJ. Interaction of alpha-actinin with the cadherin/catenin cell-cell adhesion complex via alpha-catenin. J Cell Biol 130: 67-77, 1995
- 49) Ozawa M, Baribault H, Kemler R. The cytoplasmic domain of the cell adhesion molecule uvomorulin associates with three independent proteins structurally related in different species. Embo J 8: 1711-1717, 1989
- 50) Herrenknecht K, Ozawa M, Eckerskorn C, Lottspeich F, Lenter M, Kemler R. The uvomorolin-anchorage protein alpha catenin is a vinculin homologue. Proc Natl Acad Sci USA 88: 9156-9160, 1991
- 51) Nagafuchi A, Takeichi M, Tsukita S. The 102 kd cadherin-

- associated protein: similarity to vinculin and posttranscriptional regulation of expression. Cell 65: 849-857, 1991
- 52) Fitzgerald M, Woolf CJ, Gibson SJ, Mallaburn PS. Alterations in the structure, function and chemistry of C fibers following local application of vinblastine to the sciatic nerve of the rat. J Neurosci 4: 430-441, 1984
- 53) Knyhár E, Csillik B. Effect of peripheral axotomy on the fine structure and histochemistry of Rolando substance: degenerative atrophy of central processes of pseudounipolar cells. Exp Brain Res 26: 73-87, 1976
- 54) Castro-Lopes JM, Coimbra A, Grant G, Arvidsson J. Ultrastructural changes of the central scalloped (C₁) primary afferent endings of synaptic glomeruli in the substantia geratinosa Rolandi of the rat after peripheral neurotomy. J Neurocytol 19: 329-337, 1990
- 55) Devor M, Claman D. Mapping and plasticity of acid phosphatase afferents in the rat dorsal horn. Brain Res 190: 17-28, 1980
- 56) Seltzer Z, Devor M. Effect of nerve section on the spinal distribution of neighboring nerves. Brain Res 306: 31-37, 1984
- 57) Molander CE, Kinnman E, Aldskogius H. Expansion of spinal cord primary sensory afferent projection following combined sciatic nerve resection and saphenous nerve crush. J Comp Neurol 276: 436-441, 1988
- 58) Richardson PM, Issa VM. Peripheral injury enhances central regeneration of primary sensory neurons. Nature 309: 791-793, 1984
- 59) Bonfanti L, Olive S, Poulain DA, Theodosis DT. Mapping of the distribution of polysialylated neural cell adhesion molecule throughout the central nervous system of the adult rat: an immunohistochemical study. Neuroscience 49: 419-436, 1992
- 60) Seki T, Arai Y. Highly polysialylated NCAM expression in the developing and adult rat spinal cord. Dev Brain Res 73: 141-145. 1993
- 61) Oumesmar BN, Vignais L, Duhamel CE, Avellana AV, Rougon G, Baron VEA. Expression of the highly polysialylated neural cell adhesion molecule during postnatal myelination and following chemically induced demyelination of the adult mouse spinal cord. Eur J Neurosci 7: 480-491, 1995
- 62) Hatta K, Takeichi M. Expression of N-cadherin adhesion molecules associated with early morphogenetic events in chick development. Nature 320: 447-449, 1986

The Significance of E-cadherin and its Associated Cytoplasmic Protein αN-catenin in Adult Mouse Primary Sensory Neurons Following Peripheral Axotomy

Akira Seto, Department of Neurosurgery, Kanazawa University School of Medicine, Kanazawa 920—J. Juzen Med Soc., 106, 33—43 (1997)

Key words αN-catenin, E-cadherin, mouse sensory neuron, nerve growth factor, peripheral nerve injury

Abstract

The effects of peripheral axotomy on the expression of E-cadherin and a cadherin-associated cytoplasmic protein αNcatenin in the spinal cord were examined. E-cadherin is known to have an exclusively localized expression in the lamina II of Rexed in the spinal cord dorsal horn. This expression disappeared by Day 7 after axotomy, and did not recover until Day 35. On Day 63, E-cadherin reappeared following nerve ligature (partial axonal regeneration model), whereas it remained below the level of detection following nerve clipping (complete degeneration model). Alpha N-catenin was diffusely expressed in the gray matter, with enhanced immunoreactivity in the central canal and in the superficial dorsal horn. The localized expression of a N-catenin in the superficial dorsal horn had fallen to the same level as other part of the gray matter by Day 7 after axotomy. This reduced expression in the superficial dorsal horn had recovered by Day 63 following nerve ligature, whereas it remained at the reduced level following nerve clipping. The temporal profile of alteration of αN -catenin immunoreactivity was consistent with that of E-cadherin. Immunoblot analysis for E-cadherin showed no reduction either in dorsal roots or in DRG homogenates following peripheral axotomy. Administration of NGF rescued the immunoreactivity of neurotransmitter substance P which is known to disappear after peripheral axotomy, but did not influence the immunoreactivity of both E-cadherin or aN-catenin in the superficial dorsal horn after peripheral axotomy. These results clearly showed that peripheral axotomy simultaneously alters the immunoreactivity of E-cadherin and aN-catenin in the spinal cord, suggesting a correlation in the expression of both E-cadherin and aN-catenin in vivo. Some signals from the periphery other than NGF would be indispensable for the expression of the both molecules. E-cadherin and aN-catenin complex probably plays an important role in plasticity of the spinal cord dorsal horn after peripheral axotomy.